

# Ứng dụng mô hình giàn áo để tính toán kết cấu vùng neo cáp dự ứng lực đầu dầm i căng sau

Application strut and tie model for calculating anchorage zones of i prestressed beams

Ngày nhận bài: 16/6/2016

Ngày sửa bài: 04/8/2016

Ngày chấp nhận đăng: 11/8/2016

Đặng Ngọc Lợi,  
Lê Bá Khánh

## TÓM TẮT

Phương pháp mô hình giàn áo là một công cụ trong việc tính toán thiết kế vùng chịu lực cọc bô nori mà giả thiết tiết diện phẳng không thể áp dụng. Những vùng cọc bô đều biểu như đầu dầm, vai cột, trú cầu, vùng neo cáp trong cấu kiện đầu ứng lực. Trong bài báo này tập trung vào áp dụng mô hình giàn áo để tính toán vùng neo cáp dự ứng lực trong dầm I căng sau. Qua việc kiểm tra đối chiếu kết quả tính toán, thiết kế theo phương pháp mô hình giàn áo với kết quả tính toán theo phương pháp phân tử hữu cho thấy mô hình giàn áo có độ tin cậy cao. Đồng thời phương pháp mô hình giàn áo là phương pháp đơn giản và trực quan nên thuận lợi trong ứng dụng thiết kế các công trình thực tế.

## ABSTRACT

Strut and tie modeling method is "a tool" for simulation and designing local zones where elastic bending theory can not be applied. Typical localized areas are the dapped-end beams, corbels, piers, anchorage zones in prestressed concrete structures. This paper focuses on the application of strut and tie modeling method to simulate the anchorage zones of I prestressed beams. The comparison of the results of calculation and design using strut and tie model with the ones by finite element method shows that strut and tie model is reliable. Moreover, strut and tie modeling method is simple and gives the intuitive result, therefore its applications in the design of practical work are facile.

Đặng Ngọc Lợi

Giảng viên, Khoa Xây Dựng, Trường ĐH Xây Dựng Miền Tây

TS. Lê Bá Khanh

Giảng viên, Khoa Kỹ Thuật Xây Dựng, Trường Đại Học Bách Khoa - Đại Học Quốc Gia TP HCM

## 1. Giới thiệu

Giả thiết tiết diện phẳng của Bernoulli được phát biểu "mặt phẳng của tiết diện vẫn phẳng sau biến dạng" là một giả thiết quan trọng trong tính toán thiết kế kết cấu. Từ giả thiết này, người ta có thể đưa ra số đó ứng suất, biến dạng của tiết diện ở trạng thái giri han và độ thiết lập được các phương trình tính toán xác định khả năng chịu lực của kết cấu. Những vùng trong dầm nơi mà giả thiết tiết diện phẳng được áp dụng để tính toán ứng suất gọi là vùng B. Trong khi đó những vùng như đầu dầm, vai cột, trú cầu, vùng neo cáp cầu kiện đều ứng lực, ứng suất thay đổi rất phức tạp thì những vùng này giả thiết tiết diện phẳng không còn đúng nữa gọi là vùng D[1]. Do đó, cần phương pháp thiết kế riêng cho những vùng tái ứng dụng suất ứng suất này, mới trong những phương pháp thiết kế được chấp nhận trong việc phân tích vùng cọc bô là mô hình giàn áo[2][3][4].

Ngay nay kỹ thuật ứng lực được sử dụng rộng rãi trong xây dựng công trình, niêm đai với kết cấu bê tông ứng lực, dang kết cầu được sử dụng nhiều trong xây dựng các công trình giao thông như dam ứng lực cảng trước I, T, Super T, hoặc các dang cầu sau như dam I, T, đầm thi công theo phương pháp đúc hàng. Vùng neo cáp trong kết cấu bê tông ứng lực thông thường được thiết kế dưới công thức kinh nghiệm, phương pháp mài cắt, các thiết kế mẫu hoặc các quy định cầu tạo. Các công thức xác định lực kéo ngang này được thành lập từ thực nghiệm của một số trường hợp cụ thể ứng với lực kéo ngang neo, thiết kế chưa cập. Tuy nhiên trạng thái ứng suất ứng neo cáp phải bởi rất nhiều các yếu tố như độ nghiêm ngặt của cáp, vị trí neo cáp, mặt cắt ngang đầm, trường hợp cáp cát và cáp ngoài lục khác đang dùng.

Những vùng cát bô có theo phản ứng bằng phương pháp phản ứng hàn để mô hình hóa gần đúng về sự làm việc của vùng này. Tuy nhiên, việc phản ứng bằng phản ứng hàn sẽ tốn nhiều thời gian và công sức, kết quả tính toán thường chỉ để kiểm tra, không dùng được nhiều trong thiết kế. Việc áp dụng phương pháp mô hình giàn áo trong tính toán các bộ phận chịu lực cọc bô tiêu biểu như vùng neo cáp gấp rất nhiều khía cạnh và han che. Trong bài báo này sẽ nghiên cứu áp dụng mô hình giàn áo (MHGA) để tính toán kết cấu tại vùng neo cáp trong đầu dầm I căng sau.

## 2. Lý thuyết mô hình giàn áo

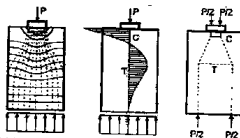
Ý tưởng sử dụng mô hình giàn áo được đề xuất bởi Ritter (1899) và Morsch (1909) dùng để thiết kế cốt thép chống cát cho kết cấu bê tông cốt thép. Vào những năm đầu của thập niên 1980 nhiều nghiên cứu về mô hình này để tính toán thiết kế chống cát và xác định cho kết cấu bê tông được tiếp tục bởi Lampert và Thurliman 1971. Sau đó, phương pháp này được tiếp tục phát triển rộng rãi bởi Collins Schlaich và Schirmer (1991)[5] đã nghiên cứu cách xác định các vùng không liên tục trong kết cấu bê tông cốt thép, phương pháp đường truyền lực từ cát và điểm đặt lực đến gác tua, cách xác định vùng nứt, chiều rộng của kết cấu.

Mô hình giàn áo dựa trên giả thiết giri hi

[6] Mô hình giàn áo của một kết cấu hay một l

lý thuyết deo  
cầu là m

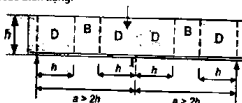
hình giàn tường tượng đặt bên trong kết cấu để truyền lực từ điểm đặt lực đến gối tựa hay vùng biến của kết cấu [1]. Hình dạng và vị trí hình học của thanh giàn thường đường truyền tải trọng bên trong kết cấu. Vì đây là mô hình giàn được hướng tượng để thể hiện ứng suất kéo và ứng suất nén nên gọi là mô hình giàn ảo. Mô hình này đặc biệt thích hợp với vùng cực bộ của kết cấu nơi mà ứng suất không thể tính toán từ lý thuyết đam hổ. Ý tưởng về việc sử dụng MHGA như thể hiện trên hình 1.



Hình 1. Phân bố ứng suất vùng neo cáp trường hợp neo đơn

### 2.1. Xác định vùng B và vùng D

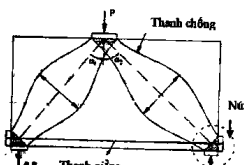
Tại những vị trí tái trọng lập trung như phản lực gối hay những thay đổi về mặt hình học trong kết cấu gọi là những vùng không liên tục. Vùng D (Disturbance) là những vùng có đặc điểm là không liên tục về hình học hoặc không liên tục về tĩnh học. Những vùng trong đam ứng suất có thể tính toán từ các công thức của lý thuyết đam gọi là Vùng B(Bernoulli) như trên Hình 2. Trong vùng B giả thiết tiết diện phẳng hay còn gọi là giả thiết Bernoulli còn đúng, nghĩa là mặt phẳng của tiết diện vẫn phẳng sau biến dạng.



Hình 2. Vùng B và vùng D trong đam

### 2.2. Các bộ phận cấu thành giàn ảo

Các bộ phận giàn ảo gồm thanh chống, thanh giằng, nút và vùng nút như Hình 3.



Hình 3. Các bộ phận cấu thành mô hình giàn ảo

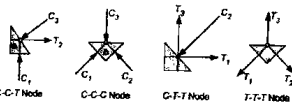
- Thanh chống ảo tương ứng với trường ứng suất nén của bê tông có trục thẳng đứng với phương nén. Các thanh nén bê tông là các trường ứng suất 2D hay 3D có xu hướng nén rõ ràng giữa các nút.

=> Thanh giằng (thanh chịu kéo) tượng trưng cho cốt thép có thể là thép thường hay thép dự ứng lực, được bố trí để kháng lại trường ứng suất kéo trong bê tông.

- Nút và vùng nút: Các thanh trong mô hình giàn ảo được nối với nhau bằng các nút, tại mỗi vị trí nút thì có ít nhất 3 thanh nối vào và các lực trên các thanh phải cân bằng tĩnh học.

$$\sum F_x = 0, \sum F_y = 0, \sum M = 0 \quad (1)$$

Có các dạng nút sau:



Hình 4. Các loại nút trong mô hình giàn ảo

Tại vùng nút chỉ có 3 thanh kéo hoặc nén, do đó trong trường hợp tại nút có nhiều thanh kéo, nén ta phải quy đổi về nút chỉ có 3 thanh.

- Điều kiện để thành lập MHGA: để thành lập MHGA đối với đam cao cần thỏa mãn[6].

$$V_u \leq \phi V_c = \phi \sqrt{f_{ck} A_c d_c} \quad (2)$$

Triết lý thiết kế: Thiết kế theo trạng thái giới hạn.

$$\begin{cases} C_u \leq \phi C_m \\ T_u \leq \phi T_m \end{cases} \quad (3)$$

Trong đó:  $C_u$ : Tải trọng đã kể hệ số trong MHGA;

$C_m$ : Tải trọng danh định.

### 2.3. Thiết kế các bộ phận trong MHGA

#### a. Thanh giằng

Kích thước của thanh giằng chịu kéo được xác định trên cơ sở diện tích cốt thép đủ bố trí cốt thép chịu kéo, phù hợp với các quy định về khoảng cách và thô mản điều kiện giới hạn ứng suất của vùng nút. Chiều rộng của thanh giằng chọn sao bộ lục lùm chọn MHGA lấy bằng hai lần chiều dày của lớp bê tông và vệ cốt thép thường.

Diện tích cốt thép trong các thanh kéo được xác định trên cơ sở nội lực của thanh kéo và cường độ chịu kéo của cốt thép đó. Việc thiết kế thanh kéo bao gồm các nội dung sau:

- Xác định diện tích thanh kéo cần thiết;

Bố trí cốt thép thanh kéo;

- Kiểm tra điều kiện neo cốt thép tại nút.

Cường độ danh định của thanh kéo được xác định thông qua cường độ của cốt thép thường và ứng suất  $f_y$ [2].

$$P_n = f_y A_n + A_{pe} (f_{yw} + \Delta f_p) \quad (4)$$

Trong đó:  $A_{pe}$ : Diện tích cốt thép thường,  $DUL$ .  
 $f_y, f_{yw}$ : Cường độ thép dọc thường,  $DUL$ .

Đối với cấu kiện bê tông dư ứng lực cấp dư ứng lực định bám với bê tông thi  $\Delta f_p = 414 \text{ MPa}$ , không định bám với bê tông  $\Delta f_p = 69 \text{ MPa}$  [1], chương 15].

Chiều rộng lớn nhất của thanh giằng xác định,

$$W_{t,max} = \frac{T_u}{f_u \times t_{sw}} \quad (5)$$

Trong đó  $f_u$ : Cường độ chịu nén vùng nút.

$t_{sw}$ : Cường độ danh định của thanh giằng.

#### b. Thiết kế thanh chống chịu nén

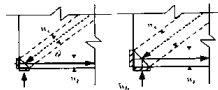
Kích thước của thanh chống nén trong mô hình giàn được xác định trên cơ sở phù hợp về cấu tạo hình học với các vùng nút mà thanh nén đó đến và yêu cầu chịu lực. Kích thước của thanh nén phải đảm bảo:

Kích thước của thanh nén có thể được thay đổi thông qua các giá trị cấp cao tần vang nút như thay đổi bố trí cốt thép

- Diện tích của mặt cắt ngang có hiệu của thanh nén, được tính toán trên cơ sở xem xét cao tần bê tông cho phép cũng như điều kiện neo của thanh tại các đầu nút

Chiều rộng hàn giằng xác định theo công thức sau

$$w = w_c \cos \theta - w_e \sin \theta$$



Hình 5 Xác định chiều rộng của thanh chịu nén

Nếu thanh nén có cốt thép bố trí song song với trục thanh và được cấu tạo để chịu nén từ giới hạn chảy thì sức kháng danh định của thanh nén được xác định như là tổng của sức kháng của bê tông và sức kháng của cốt thép. Các thanh chịu nén được kiểm toán theo

$$\frac{V_n}{V_{n,d}} = \min \left( \frac{f_y A}{f_y A + f_e A}, \frac{f_c A}{f_y A + f_e A} \right)$$

Trong đó  $f_y$ : Ứng suất nén giới hạn của bê tông;  
 $f_e$ : Giới hạn chảy của thép tại 2 đầu thanh chống.

A: Diện tích thép bố trí đầu 1, 2 thanh giằng

Cường độ chịu nén của thanh chịu nén xác định như sau

$$f_n = \min \left( \frac{0.85 f_y}{0.85 f_y + f_e}, \frac{0.85 f_e}{0.85 f_y + f_e} \right) \quad (8)$$

Với hệ số  $\beta_1, \beta_2$  xét đến cường độ hữu hiệu thanh chống và vung nút

Giới hạn chịu nénCollins[3] để xuất xắc đến hướng của thanh nén so với thanh keo và độ lớn của biến dạng keo chính vuông góc với thanh nén. Độ lớn của ứng suất nén giới hạn được quy định như sau

$$f_n = \frac{f_y}{0.8 + 170 \beta_1} \approx 0.85 f_y \quad (9)$$

Với  $\beta_1$  là biến dạng keo chính, vuông góc với trục của thanh nén. Độ lớn của  $\beta_1$  được xác định

$$\beta_1 = \beta_2 + (\beta_2 + 0.002) \cot^2 \alpha_i \quad (10)$$

Trong đó  $\beta_1$ : Biến dạng keo trong bê tông

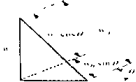
$\alpha_i$ : Góc nhọn nhất giữa thanh nén và thanh keo

c: Thiết kế vung nút

Kích thước vung nút được xác định trên cơ sở thỏa mãn điều kiện chịu lực của ban thanh nút cũng như các kích thước yêu cầu của các thanh nén hoạc thanh keo đối với nút.

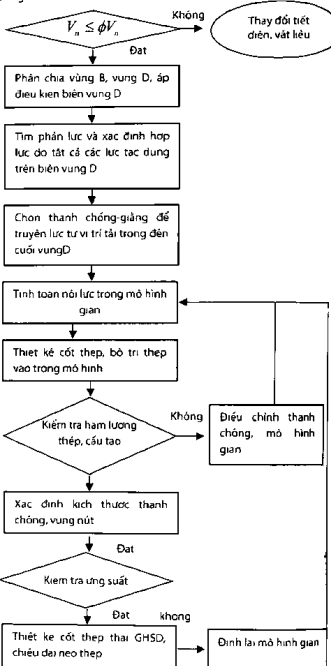
Khi tại một nút có nhiều hơn 3 lục thì quy đổi về 3 lục, do đó bê róng vung nút được xác định như sau

$$w = w_c \cos \theta - w_e \sin \theta \quad (11)$$



Hình 6: Kích thước xác định bê róng vung nút trong MHGA

Nội dung tính toán theo MHGA như Hình 7



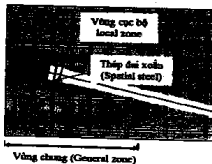
Hình 7 Sơ đồ các bước tính toán theo phương pháp MHGA

d: Phương pháp để đạt được mô hình gian tối ưu

Khi tính toán theo phương pháp MHGA khi bê tông bị rách kien nhỏ thì bê tông của thanh chống được lấy bằng bê tông của cấu kiện, kết quả tính toán sẽ phụ thuộc vào khả năng chịu tải kết cấu[7]. Đối với những kết cấu có bê tông dày, nếu lấy bê tông của thanh chịu nén là bê tông của kết cấu đối khi không đúng và sai lệch so với thực tế. Phương pháp phân tích khác là nghiên cứu tính toán theo MHGA 3D[8][9] để phân tích ứng suất ứng dụng khả năng chịu tải thực tế, tuy nhiên việc phân tích bằng mô hình 3D sẽ gặp nhiều khó khăn trong việc xác định kích thước của các thanh chịu nén và chịu keo. Do đó mô hình thanh keo ít nhất và ngắn nhất sẽ tốt

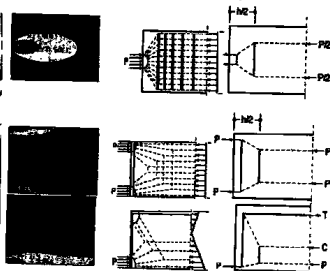
$$\sum \Pi_i = \min \quad (12)$$

#### **2.4. Phương pháp xây dựng MHGA và mapeo cảng sau**



Hình 8. Vùng cúc bộ và vùng chung trong pane B1

Vùng neo cầu kiên cố sau được chia thành 2 vùng cơ bản, vùng **ngay phia sau bâu neo gọi là vùng cục bộ (local zone)** và **vùng cách đầu dầm một khoảng bằng chiều cao đầm gó là vùng chung (general zone)**. Trong vùng cục bộ thì ứng suất tập trung rất cao, thường trở về **điểm dạng lô xo** để chống lại sự phai hoại cục bộ này như **Hình 8**. Vùng cục bộ trong neo cấp được xem là một phần của hệ thống neo và được thiết kế bởi nhà sản xuất. Trong bài báo này chỉ nghiên cứu, tính toán cho **vùng chung**.



Hình 9. MIFGA theo các trường hợp chung rác

Đối với vùng neo, việc thành lập mô hình giàn phai xem xét đến trình tự thi công cảng cáp cũng như sự làm việc của dân qua các giai đoạn. Hình 9 xây dựng MHGA cho vùng neo xét đến các trường hợp cáp cáp. Dựa vào sự phân bố ứng suất (đường tải trọng) có thể xây dựng mô hình gồm cả thanh chéo và thanh ngang.

Khi xây dựng MHGA vũng neo của cầu kèn bê tông dư ứng lực tại vị trí vũng neo ngoài tác dụng của lực dự ứng lực, vũng neo có chịu thêm tác dụng của phần lực gör tự và các tải trọng khác, nhưng ảnh hưởng của phần lực gör so với các tải trọng khác như hoạt tải và tĩnh tải giai đoạn 2 là lớn nhất. Bó qua ảnh hưởng của phần lực gör sẽ làm bài toán đơn giản hóa trong quá trình xây dựng, Cung như tính toán mô hình đơn giản hóa.

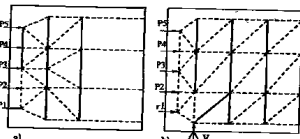
Ảnh hưởng của phản lực gối có thể được bỏ qua [1] nếu tất cả các điều kiện sau đây đều là true:

- Phản lực gói phía dưới cùng của tiết diện và gói đầm là dạng gói tua

- Phản lực gói khí chưa xét đến hệ số tải trọng nhỏ hơn hoặc bằng 15% tổng lực dự ứng lực;

Độ nghiên của tất cả các bộ phận nhà hạn hoặc bằng 5%

- Trọng tâm hay hợp lực của lực dự ứng lực trong phạm vi vùng cùc bộ nằm trong vùng giới hạn vật liệu (central kern of section).



Hình 10. Ảnh hưởng nhận thức về vùng ven đồn điền

### 3. Tính toán vùng SEO bên - MUC 3

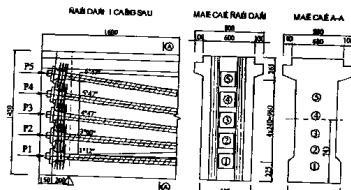
### 3.1. Thông số tĩnh toán

Xét dãm I cải tiến được bố trí 05 bô cấp dự ứng lực căng sau. Phương pháp tạo ứng suất trước trong bê tông sử dụng hệ thống công nghệ căng sau. Các thông số cơ bản để tính toán thiết kế như sau:

- Chiều dài vùng D ( $H = 1.45m$ )  $L = 1.6(m)$
  - Cường độ bê tông  $f_c = 42(Mpa)$
  - Mô đun đàn hồi  $E = 32764(Mpa)$
  - Mô đun chống cắt của bê tông  $f_r = 4(Mpa)$
  - Giới hạn chảy thép thường  $f_y = 350(Mpa)$
  - Giới hạn chảy thép dọc chủ  $f_yc = 420(Mpa)$
  - Mô đun đàn hồi thép  $E_s = 200000(Mpa)$
  - Cấp ứng lực  $f_{pu} = 1860(Mpa)$
  - Phản lực gối tại đầu cầu  $V_u = 565(kN)$

Các trường hợp mô hình hóa như:

- Trường hợp chỉ có cấp ở neo số 1 được cảng
  - Trường hợp tất cả các cấp được cảng
  - Trường hợp đầm đưa vào khai thác



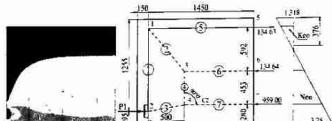
Hình 11. Thông số tinh toán vùng cung bờ đầu đầm | cảng sau

### 3.2 Tính toán vùng mía theo phương pháp MTC

- a. Trường hợp chỉ có cáp ở neo số 1 được cảng thi  
Trong trường hợp vùng neo đầu dầm chỉ có cáp ở neo số 1 được cảng thi  
hướng của phản lực góii chửa cõi. Dăm được đúc trên bùi và chửa lấp dám  
gói nên đầu dám chỉ chịu tải trọng trong lượng bần thán và lực ứng dụng  
trong lượng bần thán chiếm khoảng 3% (khoảng 31kN) so với lực do dự  
lực nén có thể bảm.

Vùng ứng suất được phân thành 2 lục, lực nén G-chọn bằng lực  $P_1$  của dư ứng lực, đặt cách thử dưới đàm 280mm và lực nén G được xác định từ đó ứng suất, được đặt tại trọng tâm của tiết diện. Khi thử, lực nén  $G = 100$

mô hình phải thỏa mãn các phương trình cân bằng lực và mô men. Tính toán lựa chọn được mô hình giản như trên Hình 12.



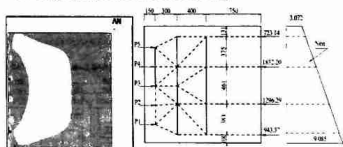
Hình 12. Bức tranh phản bộ ứng suất và mô hình giản

Bảng 1. Kết quả nội lực các thanh

STT	Thanh giằng (nút)	P (kN)	Ghi chú
1	1 (1-2)	-972.64	Thanh chong
2	2 (3-2)	-959.07	Thanh chong
3	3 (2-4)	-162.38	Thanh chong
4	4 (5-4)	-137.98	Thanh chong
5	5 (6-1)	162.25	Thanh giang
6	6 (6-4)	-213.09	Thanh chong
7	7 (7-6)	134.63	Thanh giang

Tính toán cân bằng nút ta thấy giá trị lực  $C_1$  tinh từ nút 2 và nút 4 là bằng nhau có nghĩa là vùng C 1 cân bằng tĩnh lực. Lực kéo trong hai thanh  $T_5$ ,  $T_6$  phản ánh vị trí cốt thép dài, cốt thép dọc cần được tính toán tăng cường, khi thay đổi vị trí của các thanh này thì giá trị nỗi lực trong các thanh chong, giằng sẽ thay đổi, khi đó cần kiểm tra các điều kiện cân bằng tĩnh học. Do đó, MHGA hợp lý là mô hình cân thỏa mãn các điều kiện cân bằng tĩnh định cũng như vi tri và kích thước các thanh giằng.

#### b. Trường hợp cáp ở tất cả các neo được kéo căng



Hình 13. Bức tranh phản bộ ứng suất và mô hình giản

Ứng suất keo phần bô rộng hơn so với các trường hợp cáp ở neo số 1 hay số 2, 3 được căng, ứng suất kéo phát triển rộng về phía trên, dọc theo chiều dài vùng neo và ứng suất kéo được phân bố trong khoảng từ đầu đầm đến vị trí  $h/2$  (từ đầu đầm).

#### Trường hợp đầm đưa vào khai thác

Khi hoàn thành công trình, đầm chịu thêm tĩnh tải giai đoạn 2 và hoạt tải, nên ảnh hưởng của phản lực gối đến đầu đầm cần phải được xét đến khi phân tích. Kiểm tra điều kiện:

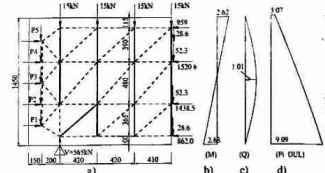
Phản lực gối gối tuỳ đơn → thỏa.

Giả tr phản lực gối  $V = 565 < 719(kN) \rightarrow$  thỏa

- Độ dốc lực hay góc nghiêng cáp  $\leq 5^\circ$  → không thỏa.

Do đó, ảnh hưởng của phản lực gối lên vùng C là đáng kể và cần phải được xét đến khi phân tích. Đây là trường hợp chịu lực tổng quát nhất.

Khi đầm đưa vào khai thác, đầm chịu thêm tĩnh tải giai đoạn 2 và hoạt tải thi đặc trưng hình học tiết diện thay đổi, tiết diện trong giai đoạn này là tiết diện liên hợp bao gồm bát mó mén.



Hình 14. MHGA trường hợp đầm đưa vào khai thác

Tính toán nội lực trong các thanh ở tất cả các trường hợp ta có lực kéo lớn nhất thể hiện trên Bảng 2.

Bảng 2. Kết quả tính toán nội lực lớn nhất

STT	Ký hiệu	Lực (kN)	Tương ứng vùng UFS kéo
1	35 (13-18)	433.11	Từ 0 đến 0.5m
2	37 (19-14)	268.76	Từ 0.5 đến 0.98m
3	24 (9-15)	181.59	
4	6 (1-8)	179.85	Từ 0.98 hết vùng D

#### 3.3. Thiết kế cốt thép và kiểm toán MHGA

##### a. Cốt thép vùng neo

Áp dụng công thức tính thép ta xác định được:

STT	Ký hiệu	A <sub>st</sub> (mm <sup>2</sup> )	ĐK	Số thanh	A <sub>ds</sub> (mm <sup>2</sup> )
1	35 (13-18)	1979.8	14	14	2155.13
2	37 (19-14)	1228.8	14	8	1231.50
3	24 (9-15)	830.4	14	6	923.63
4	6 (1-8)	822.0	14	6	923.63

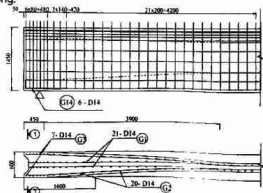
##### Bổ trí cốt thép

- Bước cốt dài d14a80 bổ trí trong khoảng giữa thanh chong số 35/0 đầu đầm đến 530mm, cốt thép dạng đai vòng 2 lớp, lượng cốt thép cần thiết là 14d14.

- Bước cốt dài d14a140 tương ứng với thanh giằng số 37 trong phần 4/2000mm tiếp theo;

- Bước cốt dài d14a200 tương ứng với thanh chịu kéo số 24;

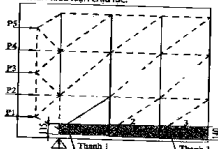
- Cốt thép có ký hiệu G146d14 tương ứng với thanh giằng số 6 cốt chéo cát đầm, thanh thép này đặt nằm ngang để thuận tiện trong quá trình thi công.



Hình 15. Thiết kế thép theo MHGA

### Kiểm toán thanh chống

Với MHGA được thành lập như ban đầu thì khía cạnh kích thước thanh chống, kích thước thanh chống không được vượt quá vùng biến của bê tông cũng như sự giao nhau giữa các vùng trong thanh chống. Trên Minitab 16 kích thước thanh chống số 1 theo tính toán là 115mm, ban đầu lựa chọn MHGA, kích thước các thanh chống này đặt tại vị trí cách mép dưới của vùng bê tông là 100mm, nên bề rộng thanh chống tối đa khi thiết kế đối với thanh chống số 1, 2, 3 là 200mm. Theo kết quả tính toán thì thanh chống số 3 lớn nhất trong 3 thanh có bê dày 140mm là đảm bảo thanh này không vượt quá ra ngoài biên của phần bê tông chịu nén. Kiểm tra tương tự các thanh chống như mô hình giàn đã lập đều thỏa mãn điều kiện chịu lực.



Hình 16. Kiểm tra bê tông thanh chống trong mô hình giàn

### 3.4. Nhận xét kết quả tính toán

MHGA có thể được sử dụng để tính toán trong các trường hợp cảng cấp khác nhau, các tổ hợp tải trọng theo các phương khác nhau, cũng như đặc trưng hình học của tiếp diện có thể khác nhau. Tính toán theo MHGA có những đặc điểm sau:

- Phương pháp MHGA được thành lập dựa trên giả thiết vùng kèo được thay bằng thanh giằng, vùng nền được thay bằng thanh chống nên việc tính toán bố trí cốt thép và kiểm tra MHGA là trực quan. Bố trí cốt thép và vị trí các thép dựa vào vị trí các thanh chống, nên việc bố trí cốt thép dựa vào vị trí và kích thước các thanh giằng, nên rất trực quan.

- Phương pháp này tính toán đơn giản, việc tính toán, kiểm tra mô hình có thể thực hiện bằng tay, kết quả xuất ra có thể tận dụng trong thiết kế.

- Kết quả tính toán theo MHGA, cốt dải cần được gia cường dày hơn tại vị trí neo cáp và giảm dần cho đến vị trí cuối vùng D.

- Việc lựa chọn MHGA, cách phân phối nội lực phụ thuộc nhiều vào quan điểm của người thiết kế. Do đó, cần phải có kinh nghiệm trong việc thành lập mô hình để giám sát số mô hình không phù hợp.

- Để hiểu rõ hơn về phân bổ ứng suất trong vùng neo theo các phương pháp kiểm tra sự phù hợp của mô hình và xác định vị trí cần gia cường cốt thép. Sử dụng phương pháp phân tử hữu hạn để kiểm tra lại việc tính toán thiết kế theo MHGA.

### 3.5. Nội dung kiểm tra mô hình giàn

Tron phan tích này sẽ mô phỏng vùng neo đầu đầm trường hợp đầm đưa vào khai thác theo mô hình dân hồi và mô hình dân dẻo có xét và không xét ảnh hưởng của cốt thép dài phân bố trong đầu đầm.

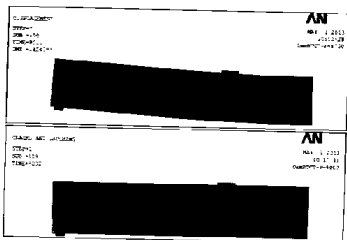
Kiểm tra mô hình thí nghiệm

Buckhouse[10][11] thực hiện thí nghiệm nén đầm trong phòng thí nghiệm để xác định ứng suất thực tế của đầm bê tông cốt thép chịu uốn ở giai đoạn đán hỏi và sau nứt. Các thông số:

- Kích thước đầm 10x18(in)
- Khoảng cách giữa 2 gối là 180(in)
- Tải trọng P tác dụng tại 2 vị trí như tải trọng P sẽ tăng dần đến khi đầm phá hoại.

Xét trường hợp tải đến tải trọng  $P=12000(\text{lbs})$

Độ vồng lớn nhất trong đầm là 0.4243(in), kết quả theo Wolanski và Buckhouse là 0.4246(in) [figure 3.19[11]]. Ở giai đoạn này đầm nứt chiều dày vết nứt như Hình 17.

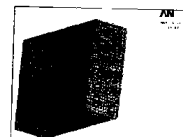


Hình 17. Chuyển vị tại gai nhấp và hình thái vết nứt đầm

### Áp dụng phân tích ứng suất vùng neo

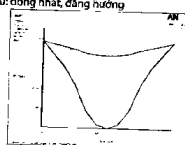
Thông số tính toán, dạng phân tử, mô hình vật liệu tham khảo [12]. Mô hình phân tích ở trường hợp tải trọng khai thác. Các thông số chính:

- Mô hình dân hồi: solid 45 [13]
- Mô hình dân dẻo: Solid 65 và link 8



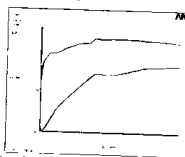
Hình 18. Vùng neo dài ở đầu đầm bằng phần mềm Ansys

### Mô hình vật liệu: đồng nhất, đẳng hướng



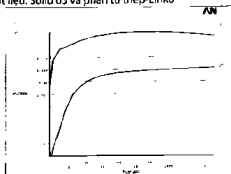
Hình 19. Biểu đồ ứng suất phương ngang trục neo số 3

### Mô hình vật liệu: Phân tử bê tông-Solid 65



Hình 20. Biểu đồ ứng suất phương ngang trục neo số 3

## Mô hình vật liệu: Solid 65 và phần tử thép-Link8



Hình 21. Ứng suất dọc trực neo s3 – Solid65+Link8

Nhận xét kết quả tính toán theo phần tử hữu hạn

– Phần tích vùng neo mô hình dày đặc, ứng suất phần bố trong vùng neo không vượt quá cường độ chịu kéo hay nén của bê tông. Biểu đồ phân bố ứng suất theo phương ngang cách vùng neo 0.3m tại neo số 3 Hình 19, cho thấy phạm vi ứng suất phần bố tập trung tại tâm của tiết diện và chủ yếu là do theo chiều cao (theo phương z) và chiều dài (theo phương x) đầu dầm. Do đó, phần tích vùng neo đầu dầm sử dụng mô hình giàn 2D chỉ kết quả phù hợp với sự làm việc thực tế vùng này.

– Phần tích vùng neo bằng mô hình dày đặc, xiết cứng độ chịu kéo, nên của bê tông thì có sự khác biệt lớn so với trường hợp giả thiết vật liệu bê tông có cốt thép là đồng nhất và đẳng hướng. Như trên Hình 20 vùng neo sẽ xuất hiện những vết nứt bên trong bê tông. Phạm vi ứng suất vượt quá khả năng chịu kéo của bê tông sẽ làm cho bê tông bị nứt do kéo vỡ. Vì tri xuất hiện từ đầu neo khoảng  $h/2$  (đọc chiều dài dầm). Từ kết quả phân tích này cho thấy, cần thiết phải giả cứng lớp thép tại vị trí neo sau neo cách neo khoảng  $h/2$  để đảm bảo chống nứt. Trên thực tế, nếu xuất hiện ứng suất kéo làm xuất hiện vết nứt bên trong bê tông có thể xảy, nên rát khó kiểm soát ngoài thực tế.

– Phần tích vùng neo bằng mô hình dày đặc, xét ảnh hưởng của cốt thép, với số lượng cốt thép và khoảng cách bố trí theo phương pháp MHGA. Như trên Hình 21 ứng suất kéo trong vùng neo giảm xuống, trong vùng neo đầu dầm không xuất hiện điểm vết nứt phía sau neo và có sự phân phôi lại ứng suất bên trong phần tử, ứng suất nén tăng lên theo các phương và giảm ứng suất kéo bên trong neo. Tuy nhiên, do cứng của kết cấu tăng lên khi xét mô hình có cốt thép, tại vị trí ngay sát sau neo vùng ứng suất kéo theo phương z tăng lên. Do đó cần phải bố trí một lớp thép giả cứng tại mặt tiếp xúc giữa tấm thép đệm và bê tông để chống lại sự phâ hoại cục bộ.

### 4. Kết luận

Qua việc phân tích đặc điểm chịu lực trong vùng neo cáp ở đầu dầm i căng sau bằng phương pháp MHGA và đối chiếu kiểm tra kết quả tính toán, thiết kế với kết quả tính toán theo phương pháp phần tử hữu hạn, các kết luận sau được rút ra

1. Việc phân tích, tính toán vùng neo bằng phương pháp MHGA là đơn giản, có tính thực hành cao không cần sự hỗ trợ của các phần mềm chuyên dùng khác. Kết quả tính toán, bố trí cốt thép là trực quan nên khi áp dụng vào thực tế thiết kế rất thuận lợi do có thể dễ dàng được kiểm tra.

2. Khi thiết kế cốt thép theo MHGA thì phạm vi bố trí cốt thép chịu kéo xuất phát từ kích thước của thanh giằng, nên việc bố trí cốt thép rất thuận lợi và hợp lý, đảm bảo vừa tiết kiệm vừa an toàn. Cụ thể, theo tính toán từ phương pháp MHGA thì vùng đầu dầm được bố trí cốt thép (theo thanh giằng) dày hơn trong phạm vi từ đầu dầm đến vị trí cách đầu dầm 1 đoạn là  $h/2$ . Kiểm tra việc bố trí cốt thép trong mô hình giàn áo bằng phương pháp phần tử hữu hạn cho thấy kết quả phân tích

phân tử hữu hạn cho kết quả tính toán phù hợp với kết quả tính toán theo phương pháp mô hình giàn áo.

3. Phương pháp mô hình giàn áo có thể xét đồng thời nhiều trường hợp khác nhau. Từ đó việc áp dụng mô hình giàn áo trong tính toán thiết kế vùng neo nói điều kiện chịu lực phụ thuộc vào số lượng neo, trình độ cảng cấp, vị trí đặt neo, các tác động khác nhau sẽ rất thuận lợi.

4. Đối với đầu dầm có bề rộng nhỏ thì sự phân bố ứng suất chở trọng trong mặt phẳng chứa cáp. Do đó, việc áp dụng mô hình giàn áo 2D cho kết quả tính toán phù hợp với sự làm việc của vùng neo đầu dầm.

### TÀI LIỆU THAM KHẢO

- [1] Antoine E Naaman, *Prestressed Concrete Analysis and Design*, 2nd ed. USA: Techno Press 2000, 2009.
- [2] Concrete structures AASHTO, LRFD Bridge Design Specification.: Washington D.C., 2005.
- [3] Bộ Giao thông vận tải, Tiêu chuẩn thiết kế cầu 22TON 272-05 - NXB giao thông vận tải, 2005.
- [4] Kall-Heinz Reinick, "Example for design of structural concrete with strut and tie models," *Amer Concrete Inst*, 2002.
- [5] Schlaich J. Schlaich, "Design and detailing of structural concrete using strut-and-tie models," *The Institution of Structural Engineers*, vol. 69, no. 6, 1991.
- [6] Hawy, *Prestressed concrete – A fundamental approach*, 3rd ed.: Prentice Hall, 2012.
- [7] Xang-Hai Tan Ning Zhang, "Direct strut-and-tie model for single span and continuous deep beams," *Science direct*, vol. *Engineering Structures* 29, pp. 2987–3001, 2007.
- [8] Zhao Liu Zhi-Qi He, "Optimal three-dimensional strut-and-tie models for anchorage diaphragms in externally prestressed bridges," *Science direct*, vol. *Engineering Structures* pp. 2037–2046, 2010.
- [9] Attiaullah Shah, Ehsanul Haq, et al, "Analysis and Design of Disturbed Regions In Concrete Structures," *Science direct*, vol. *Engineering* 14, pp 3317–3324, 2014.
- [10] ER Buckhouse, "External Flexural Reinforcement of Existing Reinforced Concrete Beams Using Bolted Steel Channels," Marquette University, vol. Wisconsin, 1995.
- [11] Anthony J. Wolanski, "Flexural behavior of reinforced and prestressed concrete beams using finite element analysis," PhD Thesis 2004.
- [12] Bàng Ngọc Lai, "Nghiên cứu áp dụng mô hình giàn áo để tính toán kết cấu tại vùng neo," *học Bách Khoa-Tp. HCM, LVThS* 2013
- [13] Ansys V12, Finite Element Analysis System. USA: SASIP, Inc, SAS, 2011.